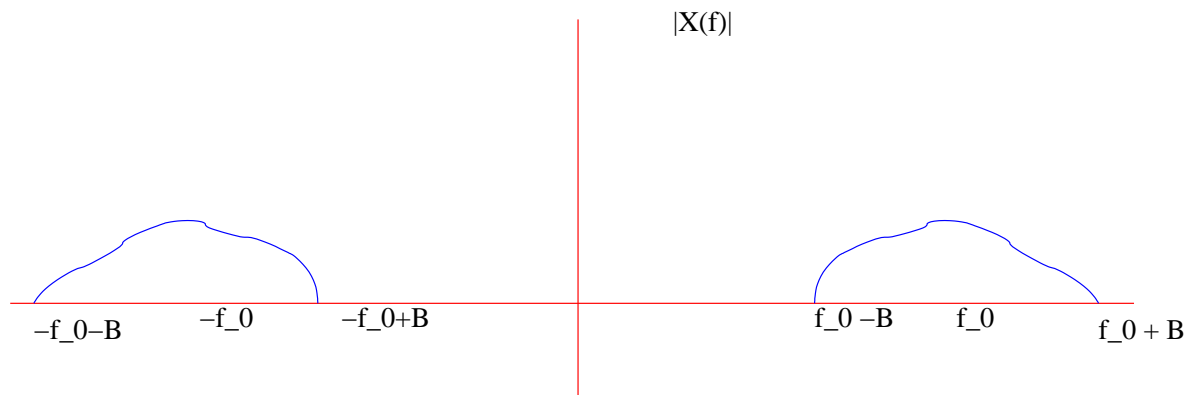


Signaux passe-bande et enveloppe complexe.

## Motivation

Beaucoup de signaux  $x(t)$  sont passe-bande.



Représenter  $x(t)$  en faisant apparaître un signal de bande passante  $[-B, B]$ .

**Résultat essentiel:**

Il existe un signal complexe  $w(t) = u(t) + iv(t)$  de bande passante  $[-B, B]$  tel que

$$x(t) = \text{Re}(w(t)e^{2i\pi f_0 t}) = u(t) \cos(2\pi f_0 t) - v(t) \sin(2\pi f_0 t)$$

$w(t)$  est appelé l'enveloppe complexe de  $x(t)$

### Filtre de Hilbert I.

Le filtre de Hilbert est le filtre de fonction de transfert  $Q(f) = -i \operatorname{signe}(f)$ .

$Q(-f) = Q(f)^*$  implique que  $Q(f)$  est la TF d'une fonction réelle  $q(t)$ .

On appelle  $\tilde{x}(t)$  la sortie du filtre  $Q(f)$  excité par  $x(t)$ .

**Exemple fondamental.**

Si  $x(t) = \cos(2\pi f_0 t + \phi)$ , alors  $\tilde{x}(t) = \sin(2\pi f_0 t + \phi)$ .

Si  $\phi = 0$ , vient de  $-i \operatorname{signe}(f) \left( \frac{\delta(f-f_0) + \delta(f+f_0)}{2} \right) = \frac{\delta(f-f_0) - \delta(f+f_0)}{2i}$

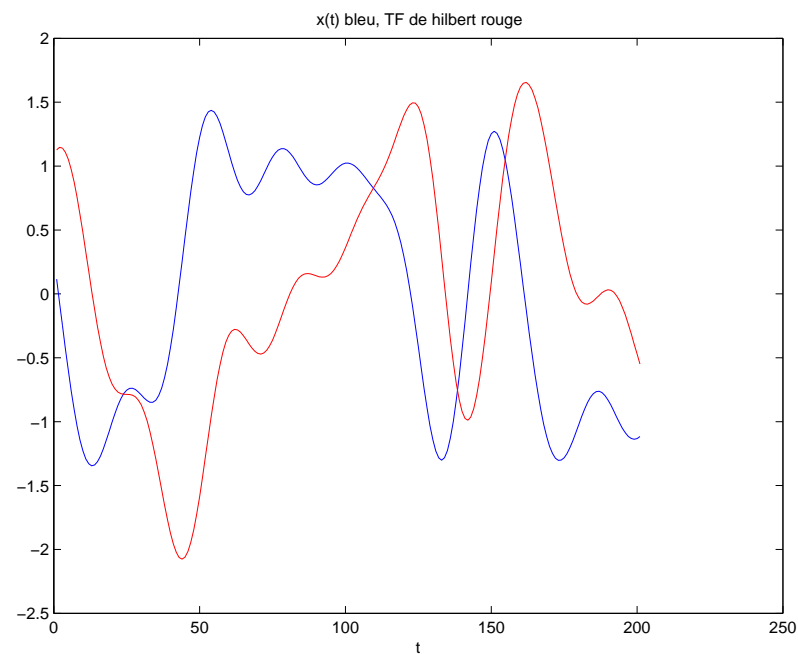
## Filtre de Hilbert II.

Cas plus général.

Si  $x(t) = \int_0^\infty C(f) \cos(2\pi ft + \phi(f))df$ , alors

$$\tilde{x}(t) = \int_0^\infty C(f) \sin(2\pi ft + \phi(f))df$$

**Illustration.**



### Filtre analytique I

Le filtre analytique est le filtre de fonction de transfert  $A(f)$  définie par

$$\begin{aligned} A(f) = 1 + iQ(f) &= 0 \text{ si } f < 0 \\ &= 2 \text{ si } f > 0 \end{aligned}$$

$A(-f) \neq A(f)^* \Rightarrow$  la réponse impulsionnelle est complexe.

$z(t)$  sortie du filtre analytique excité par  $x(t)$  :

$$z(t) = x(t) + i\tilde{x}(t)$$

$$\begin{aligned} Z(f) &= 0 \text{ si } f < 0 \\ &= 2X(f) \text{ si } f > 0 \end{aligned}$$

## Filtre analytique II

### Exemple fondamental

$$x(t) = \cos(2\pi f_0 t + \phi), \text{ alors } z(t) = e^{i(2\pi f_0 t + \phi)}.$$

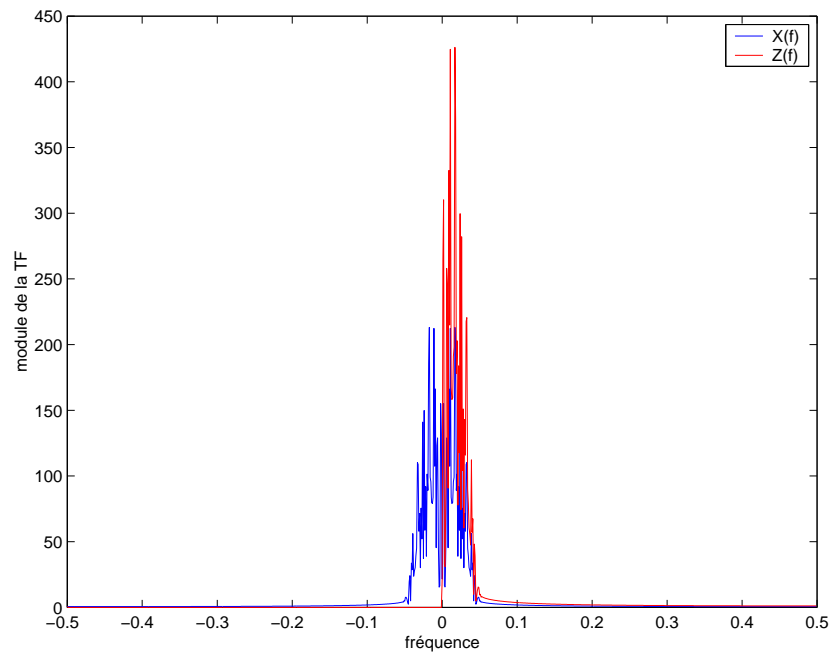
### Cas plus général.

Si  $x(t) = \int_0^\infty C(f) \cos(2\pi f t + \phi(f)) df$ , alors

$$z(t) = \int_0^\infty C(f) \exp i(2\pi f t + \phi(f)) df = 2 \int_0^\infty X(f) e^{2i\pi f_0 t} dt.$$

## Filtre analytique III

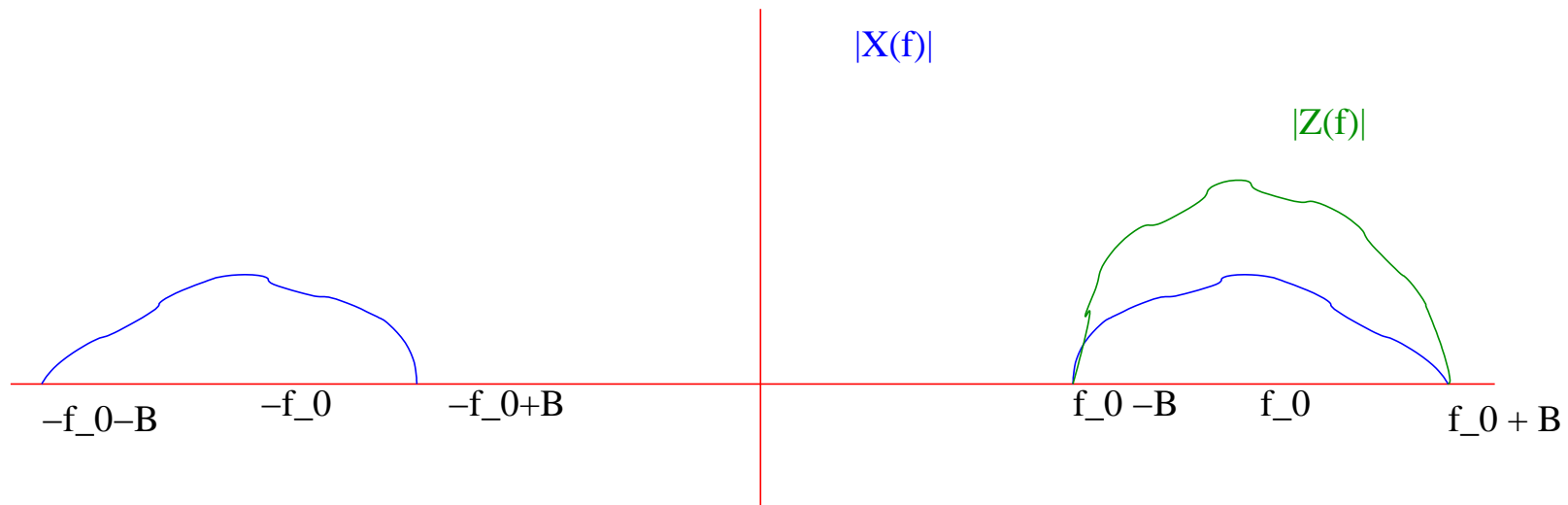
Visualisation dans le domaine fréquentiel



L'enveloppe complexe d'un signal passe-bande I

$x(t)$  signal tel que  $X(f) \neq 0$  si  $f \in [f_0 - B, f_0 + B] \cup [-f_0 - B, -f_0 + B]$ .

Soit  $z(t)$  le signal analytique associé à  $x(t)$ .

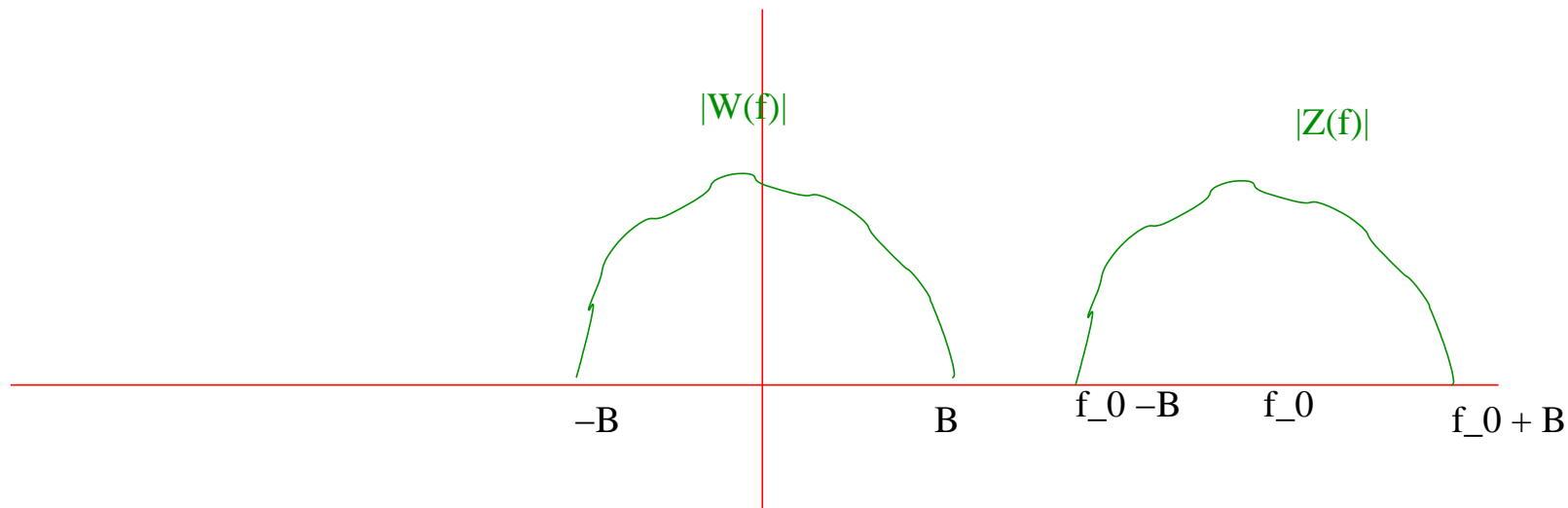




## L'enveloppe complexe d'un signal passe-bande II

$Z(f) \neq 0$  si  $f \in [f_0 - B, f_0 + B]$ .

On définit  $w(t) = u(t) + iv(t)$  par  $W(f) = Z(f + f_0) \iff w(t) = z(t)e^{-2i\pi f_0 t}$ .

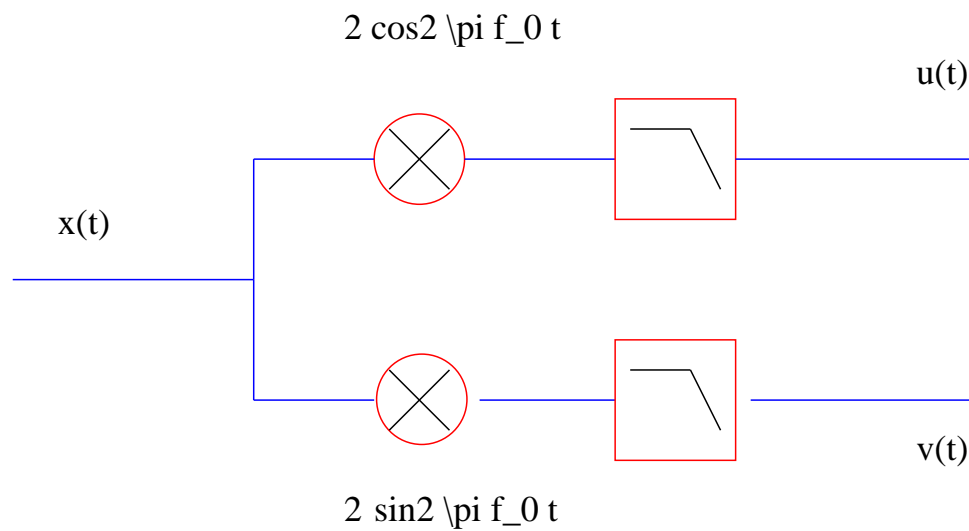


Propriétés de  $w(t)$ .

- $W(f) \neq 0$  ssi  $f \in [-B, B]$
- $x(t) = \text{Re}(z(t)) = \text{Re}(w(t)e^{2i\pi f_0 t}) = u(t) \cos(2\pi f_0 t) - v(t) \sin(2\pi f_0 t)$ .

L'enveloppe complexe d'un signal passe-bande III

Comment générer l'enveloppe complexe de  $x(t)$  ?



*L'enveloppe complexe d'un signal passe-bande IV*

**Conclusion.**

Si  $x(t)$  est passe-bande, il existe un unique signal complexe  $w(t)$  de bande  $[-B, B]$  tel que

$$x(t) = \operatorname{Re}(w(t)e^{2i\pi f_0 t})$$

Exemple: démodulation

$x(t)$  signal réel modulant de bande  $[-B, B]$ .

$y(t) = x(t) \cos(2\pi f_0 t)$  signal modulé de bande  $[f_0 - B, f_0 + B] \cup [-f_0 - B, -f_0 + B]$ .

$By(t - \tau) = Bx(t - \tau) \cos(2\pi f_0(t - \tau))$  signal reçu de bande  $[f_0 - B, f_0 + B] \cup [-f_0 - B, -f_0 + B]$ .

$By(t - \tau) = \text{Re}(Bx(t - \tau)e^{-2i\pi f_0 \tau} e^{2i\pi f_0 t})$ .

Enveloppe complexe =  $x(t - \tau)e^{-2i\pi f_0 \tau}$ , et

$u(t) = x(t - \tau) \cos(2\pi f_0 \tau)$ ,  $v(t) = -x(t - \tau) \sin(2\pi f_0 \tau)$ .